

2  
Ч-84

ЛЯП

ОБЪЕДИНЕННЫЙ ИНСТИТУТ ЯДЕРНЫХ ИССЛЕДОВАНИЙ

Лаборатория теоретической физики

Л. А. Чудов

Р-175

Об одном методе восстановления  
комплексного финитного потенциала по  
предельной фазе

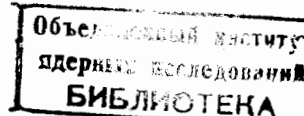
1958 год

ОБЪЕДИНЕННЫЙ ИНСТИТУТ ЯДЕРНЫХ ИССЛЕДОВАНИЙ  
ЛАБОРАТОРИЯ ТЕОРЕТИЧЕСКОЙ ФИЗИКИ

---

Л.А.Чудов

ОБ ОДНОМ МЕТОДЕ ВОССТАНОВЛЕНИЯ  
КОМПЛЕКСНОГО ФИНИТНОГО ПОТЕНЦИАЛА ПО  
ПРЕДЕЛЬНОЙ ФАЗЕ



1958 год

## ПРЕДИСЛОВИЕ

В настоящее время по вопросу о восстановлении потенциала в уравнении Шредингера по тем или иным асимптотическим свойствам его решений (спектральная функция или предельная фаза) имеется уже довольно много математических и физических работ. С математической точки зрения эта задача получила исчерпывающее решение в известных работах И.М.Гельфанд-Б.М.Левитана<sup>/1/</sup>, М.Г.Крейна<sup>/7,8/</sup> и В.А.Марченко<sup>/5/</sup>. Были доказаны теоремы существования и единственности, разработаны методы, позволяющие во многих случаях фактически строить потенциал по предельной фазе или спектральной функции.

Однако, при первых же попытках применить эти результаты к обработке экспериментальных данных по рассеянию (в области малых энергий), выяснились два обстоятельства, ограничивающие значение этих работ для физики. Во-первых, математический аппарат, применяемый в этих работах довольно сложен. Это затрудняет проведение численных расчетов на основе этих работ и заставляет многих физиков пользоваться примитивным способом "пригонки" потенциала, зависящего от нескольких параметров, к экспериментально найденной фазе.

Во-вторых, и это самое главное, выяснилось, что математическая постановка задачи, принятая во всех упомянутых выше работах, предполагает существенно больше того, что может быть задано в реальной физической задаче. В математической постановке предполагается, что предельная фаза (или спектральная функция) известна для всех значений энергии. В действительности этого быть не может, так как само уравнение Шредингера теряет смысл при сравнительно невысоких<sup>x)</sup> энергиях ( $\sim 200$  MeV). Применяемые иногда методы аналитической экстраполяции фазы за пределы изучаемого промежутка энергетической шкалы являются крайне сомнительными, ввиду неизбежных экспериментальных погрешностей и неустойчивости аналитической экстраполяции по отношению к этим погрешностям).

Из цитированных работ следует, что по конечному отрезку предельной фазы, заданной с конечной погрешностью, потенциал определяется неоднозначно. При этом малыми возмущениями, произведенными при достаточно большой энергии, можно сколь угодно сильно изменить потенциал. Таким образом, задача в обычном смысле является некорректной.

Однако, физический интерес представляет не потенциал сам по себе, а соответствующие ему волновые функции или, точнее говоря, некоторые квадратичные формы, содержащие волновые функции<sup>xx)</sup>.

x) См. по этому поводу замечание в п.3.

xx) Это важное замечание принадлежит Я.А.Смородинскому.

Поэтому представляет интерес рассмотреть вопрос о корректности обратной задачи с этой точки зрения. Речь идет фактически о корректности в слабом смысле (например, для преобразований Фурье-ядра  $K(x, t)$ , как указано в п.4).

Среди методов, применяющихся до сих пор к обратной задаче, наиболее удобным для этой цели является метод В.А.Марченко. Следуя этому методу, нужно было бы исследовать вопрос о слабой корректности решения  $A(x, y)$  интегрального уравнения  $A(x, y) + f(x, y) + \int\limits_y^{\infty} f(y, t) A(x, t) dt = 0$ , где  $f(x, y)$  фактически представляет собой преобразование Фурье  $\mathcal{S}$ -функций.

В настоящей работе предлагается новый метод восстановления потенциала по предельной фазе, основанный на применении интегрального преобразования типа Гельфанд-Левитана. Этот метод сводит вопрос к исследованию слабой корректности задачи Коши для функционально-дифференциального уравнения второго порядка, близкого к волновому уравнению, или для еще более простого уравнения первого порядка.

Предлагаемый метод, благодаря своей элементарности, оказался более удобным для численных расчетов, чем метод В.А.Марченко<sup>x)</sup>. Дело сводится к решению (той или иной разност-

<sup>x)</sup> При численном решении линейного интегрального уравнения В.А.Марченко приходится решать системы линейных уравнений с полной матрицей. Более удобно для численных расчетов нелинейное интегральное уравнение, приведенное в цитированной работе В.А.Марченко. Оно приводит к "треугольной" системе уравнений, но функция  $\mathcal{F}(x, y)$ , входящая в это уравнение, вычисляется довольно сложно.

ной схеме дифференциально-функционального уравнения для ядра  $K(x, t)$ . Описание одной такой схемы, проведенной в экспериментальных расчетах, приведено в Приложении.

$x$                      $x$

$x$

В разработке и проверке разностной схемы принимала участие Р.Н.Федорова; И.А.Кропина и К.Н.Данилова выполнили большую работу по опытной проверке схемы на точность и устойчивость и провели некоторые другие расчеты, связанные с настоящей работой. Л.И.Лепилова и К.Н.Железнова под руководством В.Л.Евтеева выполнили расчеты по приближенному вычислению интегралов в смысле главного значения, возникающих при определении начальных данных Коши по предельной фазе (п.3).

I. Уравнение Шредингера и ядро  $K(x, t)$  оператора преобразования. Рассмотрим дифференциальное уравнение

$$-y'' + V(x)y = \kappa^2 y, \quad (I)$$

где  $V(x)$  — непрерывная на замкнутом отрезке  $[0, x_0]$  функция, равная нулю вне этого отрезка. Всюду в дальнейшем, кроме п.4, функцию  $V(x)$  можно считать комплексной. Для упрощения рассуждений мы будем предполагать, что дискретный спектр отсутствует; дискретные собственные значения (в случае финитного потенциала их число, конечно) вносят лишь несущественные изменения. Решение уравнения (I), определяемое начальными условиями

$$y=0, y'=0 \text{ при } x=0, \quad (2)$$

обозначим  $\varphi(x; \kappa)$ . При  $V(x) \equiv 0$  соответствующим решением уравнения (I) будет  $y = \sin \kappa x$ . Следуя Гельфанду-Левитану /I/, рассмотрим "треугольный" оператор преобразования, переводящий  $\sin \kappa x$  в  $\varphi(x; \kappa)$ :

$$\varphi(x; \kappa) = \sin \kappa x + \int K(x, t) \sin \kappa t dt \quad (3)$$

Для того, чтобы функция  $\varphi(x; \kappa)$ , определяемая согласно (3), являлась решением уравнения (I) с начальными данными (2), необходимо и достаточно, чтобы ядро  $K(x, t)$  удовлетворяло следующим условиям:

$$K_{xx}(x, t) - K_{tt}(x, t) = V(x)K(x, t) \quad (4a)$$

$$K(x, 0) = 0, \quad (4b)$$

$$\frac{d}{dx} K(x, x) = \frac{1}{2} V(x) \quad (4c)$$

Доказательство этого утверждения получается путем непосредственной подстановки  $\varphi(x, k)$  в (I) и (2).

Существование функции  $K(x, t)$ , удовлетворяющей условиям (4), можно доказать, решая по методу Римана<sup>/3/</sup> соответствующую краевую задачу для гиперболического уравнения (4а).

В дальнейшем мы будем заниматься обратной задачей и будем считать  $V(x)$  неизвестной функцией. Поэтому в уравнениях (4) исключим  $V(x)$ :

$$K_{xx}(x, t) - K_{tt}(x, t) = K(x, t) \cdot [2 \frac{d}{dx} K(x, x)] \quad (5a)$$

$$K(x, 0) = 0 \quad (5b)$$

Отметим одно необходимое для дальнейшего свойство  $K(x, t)$ , связанное с финитностью потенциала. При  $x \geq x_0 = 2x_a$  ядро  $K(x, t)$  зависит только от  $x - t$ :

$$K(x, t) = K(x - t) \text{ при } x > 2x_a \quad (6)$$

Действительно, при  $x > x_a$  уравнение (5а) превращается в обыкновенное волновое уравнение, поэтому  $K(x, t) = f(x-t) + g(x+t)$ . Но из (4в) при  $x > x_a$  следует, что  $g(\xi) = \text{const}$  при  $\xi > 2x_a$  (Область, где  $K(x, t) = f(x-t)$ , более точно определяется условиями  $x+t \geq 2x_a, t < x$ ).

2. Ядро оператора преобразования  $K(x, t)$  и предельная фаза  $\omega(x)$ . При  $x > x_a$  мы можем положить

$$\varphi(x, k) = f(k) \sin(Kx + \omega(k)). \quad (7)$$

Здесь  $\omega(k)$  — так называемая предельная фаза, не посредственно связанная с величинами, наблюдаемыми экспериментально. Что касается амплитудного множителя  $A(k)$ , то он не имеет физического смысла, но через него просто выражается спектральная функция  $\rho(k)$  уравнения (1) при начальных данных (2):

$$d\rho(k) = \frac{2}{\pi} \frac{dk}{[A(k)]^2} \quad (1)$$

Пользуясь формулами (3) и (6) и интегрируя по частям, получаем

$$\varphi'_x(x_0, k) = k \left( \cos kx_0 + \int K(x_0, t) \cos kt dt \right) \quad (8)$$

Подставляя (3) и (8) в соотношение

$$\frac{\varphi'_x(x_0, k)}{\varphi(x_0, k)} = \frac{k \cos(kx_0 + \omega(k))}{\sin(kx_0 + \omega(k))}$$

вытекающее из (7), находим после элементарных преобразований:

$$\int K(t) \sin [kt + \omega(k)] dt = -\sin \omega(k) \quad (9)$$

Формула (9) определяет  $K(\tau)$  однозначно, если система функции  $\{\sin(k\tau + \omega(k))\}$  является полной. При наших предположениях относительно  $V(x)$  (финитность и отсутствие дискретного спектра) это всегда имеет место. Доказательство

x)

Спектральная функция  $\rho(k)$  может быть определена следующим образом:  $\int \varphi(x, k) \varphi(y, k) d\rho(k) = \delta(x-y)$

По поводу определения спектральной функции см. /2/, гл. I.

этого утверждения будет приведено в п.6. Для оценки погрешностей, вызываемых в  $K(\tau)$  ошибками в определении  $\omega(k)$ , соотношение (9) несколько неудобно, так как из него мы получаем коэффициенты Фурье  $K(\tau)$  по неортогональной системе функций, зависящей к тому же от  $\omega(k)$ . Для получения коэффициентов Фурье  $K(\tau)$  по системе  $\{\sin k\tau\}$  можно воспользоваться непосредственно проверяемым соотношением

$$\begin{aligned} \sin(k\tau + \omega(k)) &= \int_0^\infty B(k, k') \sin k' \tau \, dk' \\ B(k, k') &= \cos \omega(k) \delta(k - k') + \frac{\sin \omega(k)}{\pi} \frac{1}{k - k'} \end{aligned} \quad (8)$$

(интеграл понимается в смысле главного значения по Коши).

Однако при этом мы получим для

$$\tilde{K}_o(k) = \int_0^\infty K(\tau) \sin k\tau \, d\tau$$

интегральное уравнение

$$\begin{aligned} \cos \omega(k) \tilde{K}_o(k) + \frac{\sin \omega(k)}{\pi} \int_0^\infty \frac{\tilde{K}_o(k')}{k - k'} \, dk' &= (10) \\ &= -\sin \omega(k). \end{aligned}$$

Решение уравнения (в общем случае комплексного потенциала) нами не получено. В случае вещественного  $V(x)$  оно может быть найдено другим путем.

3. Определение  $K(x_0, t)$  по  $\omega(k)$  в случае вещественного потенциала. Рассмотрим выражение

$$\Phi(k) = e^{-ikx_0} \left( \frac{y'(x_0, k)}{k} + iy(x_0, k) \right) \quad (II)$$

как функцию комплексного аргумента  $\kappa$ . Очевидно,  $\Phi(\kappa)$  есть целая аналитическая функция. Легко показать, что не имеет нулей в нижней полуплоскости, если, как мы предположили, дискретный спектр отсутствует<sup>x)</sup>. Ввиду этого  $\Phi(\kappa) = \log \varphi(\kappa)$  может быть определена в замкнутой нижней полуплоскости как однозначная аналитическая функция. При вещественном  $\kappa$  в силу (3), (7) и (8)

$$\Phi(\kappa) = A(\kappa) e^{i\omega(\kappa)} = 1 + \int_0^{\infty} K(t) e^{-ikt} dt \quad (12)$$

Для определения  $K_0(\kappa)$  по  $\omega(\kappa)$ , т.е. аргументу  $\Phi(\kappa)$ , достаточно найти  $A(\kappa)$ , т.е. модуль  $\varphi(\kappa)$ . Переходя к  $\Psi(\kappa)$ , получаем известную задачу об определении на вещественной оси вещественной части аналитической в нижней полуплоскости функции по ее мнимой части. Для того, чтобы применить интегральную формулу Коши, следует убедиться в том, что  $\Psi(\kappa)$  достаточно быстро стремится к нулю при  $\kappa \rightarrow \infty$  (в нижней полуплоскости), и выбрать контур интегрирования так, чтобы он в пределе переходил в прямую  $\Im \kappa = 0$ . В данном случае это легко сделать, пользуясь формулой (12). Применяя формулу Коши, находим

$$1 + \int_0^{\infty} K(t) e^{-ikt} dt = \exp\left(i\omega(\kappa) + \frac{1}{\pi} \int_{-\infty}^{\infty} \frac{\omega(\kappa') d\kappa'}{\kappa - \kappa'}\right) \quad (13)$$

<sup>x)</sup> Корню  $\varphi(\kappa)$ , лежащему в нижней полуплоскости, отвечает (при  $\kappa > x_0$ ) собственная функция  $\varphi(x, \kappa) = \text{Cexp}(ix\kappa)$ , имеющая интегрируемый квадрат. Поэтому  $\kappa^x$  принадлежит дискретному спектру.

Соотношение (I3) позволяет высказать некоторые суждения о той неопределенности, которая неизбежно возникает в любой реалистической постановке обратной задачи ввиду принципиальной невозможности узнать  $\omega(\kappa)$  для всех, сколь угодно больших значений  $\kappa$ . Неполнота имеющихся данных должна компенсироваться какими-либо **априорными** суждениями о потенциале. Исходя из соотношения (I3), естественно вводить дополнительные предположения типа условий гладкости  $V(x)$ , так как подобные условия, как известно, обеспечивают соответствующую асимптотику  $\omega(\kappa)$  при  $\kappa \rightarrow \infty$ .

Формула (I3) дает возможность также оценивать влияние погрешности в  $\omega(\kappa)$  на  $K(x_0, t)$  (точнее говоря, на коэффициенты Фурье этой функции). Для выяснения роли фаз, отвечающих высоким энергиям, представляется полезным привести следующий числовой пример. Для трех уравнений вида (I)

$$-y'' + V_i(x)y = \kappa^2 y, \quad i = 1, 2, 3$$

были вычислены фазы  $\omega_i(\kappa)$ ,  $i = 1, 2, 3$ . Потенциалы были равны нулю при  $x > 1$ , а при  $x < 1$  задавались следующими условиями:

$$V_1(x) = -1$$

$$V_2(x) = \begin{cases} -1,5, & 0 < x < 0,5; \\ -0,5, & 0,5 < x < 1; \end{cases}$$

$$V_3(x) = \begin{cases} -0,5, & 0 < x < 0,5; \\ -1,5, & 0,5 < x < 1; \end{cases}$$

График  $V_i$  фаз выходят на общую асимптотику (как и следовало ожидать, поскольку все  $V_i(x)$  имеют одинаковый интеграл), однако они заметно отличаются еще при  $K \sim 2,5$ . Если пересчитать все величины на случай взаимодействия двух частиц, имеющих массу протонов, то оказывается, что  $K \sim 2,5$  отвечает энергии  $\sim 250 \text{ MeV}$ , при глубине потенциальной ямы  $\sim 40 \text{ MeV}$  (в случае потенциала  $V_1$ ) и ширине ее  $10^{-13} \text{ см}$ . Таким образом, в этом довольно реальном примере грубая асимптотика, учитывая лишь член вида  $\frac{A}{K}$ , начинает действовать при весьма высоких энергиях.

#### 4. Постановка задачи Коши для $K(x, t)$ . Вопросы единственности, существования и корректности.

Соотношения (9) и (13) однозначно определяют  $K(x_0, t)$  и тем самым  $K_x(x_0, t)$ , так как вследствие (6)  
 $K'_x(x_0, t) = -K_t(x_0, t)$ . Таким образом мы получаем для определения  $K(x, t)$  следующую краевую задачу:

$$K_{xx}(x, t) - K_{tt}(x, t) = K(x, t) [2 \frac{d}{dx} K(x, x)] \quad (5a)$$

$$\left. \begin{aligned} K(x_0, t) &= K_0(x_0 - t), \\ K_x(x_0, t) &= K'_0(x_0 - t), \end{aligned} \right\}$$

$$K(x, 0) = 0. \quad (I4)$$

Последнее из условий (I4) иногда удобно заменять антисимметричным предположением  $K(x_0, t) = K_x(x_0, t)$  на отрицательные значения  $t$ . В этом случае мы получаем обыч-

ную задачу Коши (в направлении оси  $x$ ) для нелинейного функционально-дифференциального уравнения (5а), главная часть которой линейна и принадлежит к гиперболическому типу.

Для приближенного решения этой задачи можно воспользоваться численным методом, описание которого дано в приложении.

Исходя из сходства уравнения (5а) с обычным волновым уравнением, естественно пытаться применить метод последовательных приближений в форме Пикара<sup>4/</sup> для исследования вопросов существования и единственности решения, а также корректности поставленной задачи. Приведем результаты исследования. Единственность дважды непрерывно дифференцируемого решения имеет место в треугольнике, ограниченном характеристиками  $t = \pm x$  и начальной прямой  $x = x_0$ . Последовательные приближения, получаемые по способу Пикара, сходятся к решению поставленной задачи в некоторой окрестности начальной прямой. Сходимость во всем характеристическом треугольнике также имеет место, если последовательные приближения ограничены в совокупности. По поводу последней оговорки следует заметить, что уравнение (5а) допускает неограниченно возрастающие решения (например, решения, не зависящие от  $t$ ). Поэтому существование непрерывного решения в рассматриваемой задаче обусловлено специфическими свойствами начальных данных.

Исходя из соотношения (3), представляющего волновую функцию как преобразование Фурье от  $K(x, t)$  по  $t$ , и формулы (13), выражющей преобразование Фурье начальной функции

$K(x_0, t)$  через  $\omega(\kappa)$ , естественно искать условия корректности в слабом смысле, т.е. формулировать свойства непрерывной зависимости решения от начальных данных не для самой функции  $K(x, t)$ , а для ее преобразования Фурье, - или тоже самое для волновых функций. Укажем два подхода к решению задачи в этой постановке.

Пользуясь соотношениями (3) и (49), можно выразить  $V(x)$  через волновые функции  $\varphi(x, \kappa)$ :

$$V(x) = \frac{d}{dx} \left[ \frac{8}{\pi} \int_0^\infty dq' [\varphi(x, q') - \sin q' x] \sin q' x \right]^* \quad (I5)$$

Для волновых функций получается интегродифференциальное уравнение

$$\varphi''(x, q) + q^2 \varphi(x, q) = \varphi(x, q) \frac{d}{dx} \left\{ \frac{8}{\pi} \int_0^\infty dq' (\varphi(x, q') - \sin q' x) \sin q' x \right\} \quad (I6)$$

с начальными условиями:

$$\varphi(x_0, q) = \sin q x_0 + \int_0^{x_0} K(x, t) \sin q t dt$$

$$\varphi'_x(x_0, q) = q \left( \cos q x_0 + \int_0^{x_0} K(x, t) \cos q t dt \right).$$

- x) При выводе формулы (I5) учтено, что в точке разрыва первого рода интеграл Фурье сходится к полусумме предельных значений слева и справа от разрыва (мы продолжаем  $K(x, t)$  на область  $t > x$  ~~на область~~, полагая  $K(x, t) \equiv 0$  при  $t > x$ ).

К этому уравнению, повидимому, можно применить метод последовательных приближений или разложения по малому параметру.

Второй подход приводит к более простому уравнению. Он опирается на следующее соотношение между  $K(x, t)$  и решольвентой  $\Gamma_x(t, 0)$ , которая используется в работах М.Г.Крейна по обратной задаче [8]:

$$K(x, t) = \Gamma_{2x}(x+t, 0) - \Gamma_{2x}(x-t, 0).$$

Положим

$$K(x, t) = f(2x, x-t) - f(2x, x+t) \quad (I7)$$

Непосредственной проверкой можно установить, что функция

$K(x, t)$ , определенная согласно (I7), удовлетворяет уравнению (5а) и условиям (I4), если  $f(u, v)$  удовлетворяет уравнению первого порядка

$$\frac{\partial f(u, v)}{\partial u} = f(u, u-v) f(u, v) \quad (I8)$$

и начальному условию  $f(x_0, x_0-t) = K_0(x_0-t)$ . (При  $u > x_0 = 2x_0$   $f(u, v)$  не зависит от  $u$ , так как уравнение (5а) в этой области превращается в волновое уравнение).

Таким образом, мы имеем в треугольнике  $0 < v < u < x_0$  уравнение (I8) с начальным условием  $f(x_0, v) = K_0(v)$ .

Заметим попутно, что уравнение (I8) очень легко решать численно.

Обозначим

$$\tilde{f}(u, q) = \int_0^u e^{-i q v} f(u, v) dv \quad (19)$$

Из (18) получаем уравнение для  $\tilde{f}(u, q)$ :

$$\tilde{f}'(u, q) = \left\{1 + \tilde{f}(u, q)\right\} \frac{4}{\pi} \int_0^{\infty} \tilde{f}(u, q') e^{i(q'-q)u} dq' \quad (20)$$

С учетом начальных условий получаем из (20) нелинейное интегральное уравнение

$$1 + \tilde{f}(u, q) = \left\{1 + \tilde{f}(x_0, q)\right\} \exp\left\{-\frac{4}{\pi} \int_{x_0}^u du \int_0^{\infty} \tilde{f}(u, q') e^{i(q'-q)u} dq'\right\} \quad (21)$$

Это соотношение уже весьма наглядно выражает взаимное влияние различных гармоник и, повидимому, может быть изучено достаточно подробно.

6. Полнота системы асимптотических функций. В случае финитного комплексного потенциала можно элементарно доказать существование оператора преобразования, связывающего асимптотические функции  $\sin(kx + \omega(k))$  и собственные функции непрерывного спектра  $\Psi(x, k)$ :<sup>x)</sup>

$$\Psi(x, k) = \sin(kx + \omega(k)) + \int_x^{2x_0 - x} A(x, t) \sin(kt + \omega(k)) dt. \quad (22)$$

x) Ср. /5/

Подставляя  $\psi(x, \kappa)$  в уравнение (I), получаем уравнение в частных производных и граничные условия для  $A(x, t)$ :

$$A_{xx}(x, t) - A_{tt}(x, t) = V(x) A(x, t), \quad (23a)$$

$$\frac{d}{dx} A(x, x) = -\frac{1}{2} V(x), \quad (23b)$$

$$A(x, 2x_0 - x) = 0 \quad (23c)$$

Мы имеем так называемую задачу Гурса или первую краевую задачу с данными на характеристиках для гиперболического уравнения (23a). Решение этой задачи приведено, например, в [3]. Оно справедливо и в случае ~~появления~~ комплексного потенциала. Вследствие обратимости соотношения (22), вопрос о полноте системы асимптотических функций равносителен вопросу о полноте системы собственных функций непрерывного спектра. Как показал М.А. Найдмарк<sup>[6]</sup>, при наших предположениях о  $V(x)$  система собственных функций непрерывного спектра полна, если дискретный спектр отсутствует.

ПРИЛОЖЕНИЕРазностная схема для вычисления  $K(x,t)$ 

Согласно п.п. 3, 4 мы можем считать известными функции  $K(x_0, t)$  и  $K_x(x_0, t)$ , где  $x_0 = 2x_{\text{дл}}$ . По формуле Даламбера можно перенести эти начальные условия на отрезок  $0 < t < x_a$  прямой  $x = x_a$  и решать уравнение

$$\frac{\partial^2 K(x, t)}{\partial x^2} - \frac{\partial^2 K(x, t)}{\partial t^2} = K(x, t) \cdot \left[ 2 \frac{d}{dx} K(x, x) \right] \quad (24)$$

в треугольнике  $\{0 < t < x < x_a\}$ . Уравнение (24)

мы заменим эквивалентной системой уравнений первого порядка:

$$\frac{\partial K}{\partial x} = - \frac{\partial P}{\partial t}, \quad (25)$$

$$\frac{\partial K}{\partial t} = - \frac{\partial P}{\partial x} - \varphi, \quad (26)$$

$$\frac{\partial \varphi}{\partial x} = - \varphi K, \quad (27)$$

где положено  $\varphi = 2 \frac{d}{dx} K(x, x)$ . Первые два уравнения приведем к характеристической форме, а последнее проинтегрируем по  $x$ :

$$\left( \frac{\partial}{\partial x} + \frac{\partial}{\partial t} \right) (K + P) = - \varphi, \quad (28)$$

$$\left( \frac{\partial}{\partial x} - \frac{\partial}{\partial t} \right) (K - P) = \varphi, \quad (29)$$

$$\psi(x,t) = \int \psi(\xi) K(\xi, t) d\xi \quad (30)$$

Введем в области  $0 < t < x < x_a$  основную квадратную сетку с шагом  $\Delta x = \Delta t = h$  и занумеруем точки сетки, как указано на рис. I, индексами  $m, n$ , принимающими целые значения. По этой сетке будем вычислять величины  $K_m^n$  и  $P_m^n$ . Введем, кроме того, "полуцелые" точки (см. рис. I), в которых будем вычислять  $\psi_{m+1/2}^{n+1/2}$ .

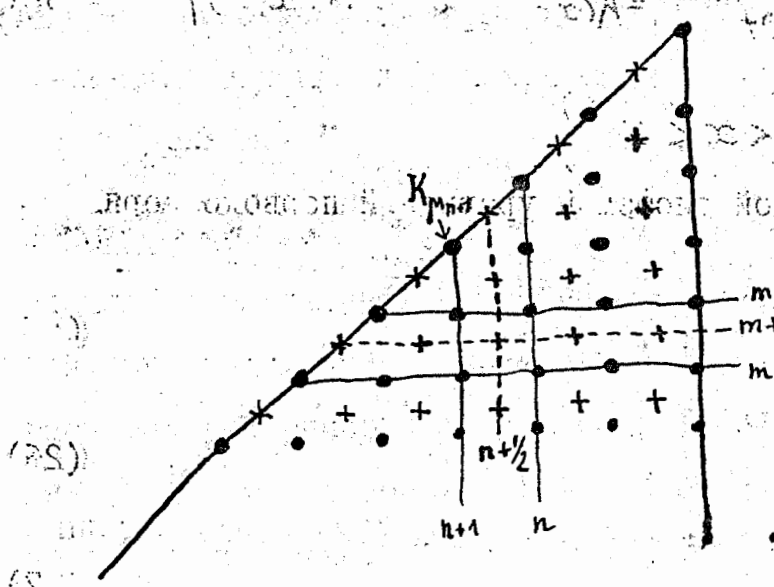


Рис. I.

Заменяя в (28), (29) производные симметричными разностными отношениями, и выражая интеграл в (30) по формуле трапеций, приходим к следующей системе уравнений:

$$\psi_{m+1/2}^{n+1/2} = \psi_{m+1/2}^{n-1/2} + h \frac{K_m^n + K_{m+1}^n}{2} \cdot \frac{\psi_{n+1/2}^{n+1/2} + \psi_{n-1/2}^{n-1/2}}{2} \quad (31)$$

$$K_m^{n+1} = \frac{1}{2}(K_{m+1}^n + K_{m-1}^n) + \frac{1}{2}(P_{m+1}^n - P_{m-1}^n) + \frac{1}{2}h(\varphi_{m+\frac{1}{2}}^{n+\frac{1}{2}} + \varphi_{m-\frac{1}{2}}^{n+\frac{1}{2}}) \quad (32)$$

$$P_m^{n+1} = \frac{1}{2}(K_{m+1}^n - K_{m-1}^n) + \frac{1}{2}(P_{m+1}^n + P_{m-1}^n) + \frac{1}{2}h(\varphi_{m+\frac{1}{2}}^{n+\frac{1}{2}} - \varphi_{m-\frac{1}{2}}^{n+\frac{1}{2}}) \quad (33)$$

Учитывая граничное условие при  $t = 0$ , получаем особые формулы для  $m = 0$ :

$$K_0^{n+1} = 0, \quad P_0^{n+1} = K_1^n + P_1^n + h \cdot \varphi_{\frac{1}{2}}^{n+\frac{1}{2}}$$

Особым образом вычисляется также значение  $K_{M+1}^{n+1}$  при том, что значение  $K$  на диагонали  $x = t$ :

$$K_M^{n+1} = \frac{(K_{M+1}^n + K_{M-1}^n) + (P_{M+1}^n - P_{M-1}^n) + h(\varphi_{M+\frac{1}{2}}^{n+\frac{1}{2}} + \varphi_{M-\frac{1}{2}}^{n+\frac{1}{2}}) + \frac{h}{4}(K_{M+1}^n + 2K_M^n + K_{M-1}^n)K_{M+2}^n}{2 + \frac{h}{4}(K_{M+1}^n + 2K_M^n + K_{M-1}^n)}$$

$$(P_M^n = K_{M+1}^n) \quad (34)$$

Эта формула получена из уравнения (31) и (32) путем замены

$\varphi^{n+\frac{1}{2}}$  разностным отношением:

$$\varphi^{n+\frac{1}{2}} = 2 \frac{K_{M+1}^n - K_M^n}{h} \quad (35)$$

и исключением неизвестной величины  $K_M^{n+1}$  из полученных уравнений. Укажем последовательность счета:

$$K_M^{n+1} \rightarrow \varphi^{n+\frac{1}{2}} \rightarrow \varphi_{m+\frac{1}{2}}^{n+\frac{1}{2}} \rightarrow K_m^{n+1} \rightarrow P_m^{n+1}$$

По этой схеме производились опытные расчеты для случая, когда потенциал  $V(x)$  задается условиями:

$$V(x) = \begin{cases} -1, & 0 < x < 1, \\ +0,25, & 1 < x < 4, \\ 0 & x > 4 \end{cases} \quad (36)$$

Соответствующее ядро  $K(x,t)$  имеет разрывы первого рода в производных (слабые разрывы). Если принять, что единица измерения для  $x$  равна  $10^{-13}$  см. и предполагать, что уравнение (I) записано для случая  $d-d$  взаимодействия, то глубина потенциальной ямы будет равна 20 Мэв. Для  $p-p$  рассеяния глубина потенциальной ямы окажется равной 40 Мэв.

Опытные расчеты показали, что при тех порядках величин, которые отвечают  $p-p$ ,  $d-d$  и  $\alpha-\alpha$  рассеянию, описанная схема является устойчивой, весьма точной и экономичной. Она может быть использована как для исследовательских расчетов (например, с целью выяснения влияния "высших гармоник"), так и для восстановления потенциала по экспериментально найденной фазе.

Цитированная литература

1. И.М.Гельфанд, Б.М.Левитан, Изв. АН СССР, сер.матем., I5, № 4, 309 (1951).
2. М.А.Наймарк "Линейные дифференциальные операторы", Гостехиздат, гл.УШ, 1954.
3. С.Л.Соболев "Уравнения математической физики", Гостехиздат, 1956 г., издание 3-е.
4. Р.Курант и Д.Гильберт "Методы математической физики", т.II, гл.У, № 5, Гостехиздат, 1951.
5. В.А.Марченко, ДАН СССР, I955, I04, № 5.
6. М.А.Наймарк, Труды Московского математического общества, т.3.
7. М.Г.Крейн, ДАН СССР I05 (1955) № 3, (и еще ряд статей, опубликованных ранее в ДАН СССР).
8. М.Г.Крейн, Лекции, прочитанные в Московском университете в 1956-1957 гг.